## RÉPUBLIQUE FRANÇAISE

## INSTITUT NATIONAL DE LA PROPRIÉTÉ INDUSTRIELLE

11) N° de publication : (A n'utiliser que pour les

commandes de reproduction).

2 487 575

**PARIS** 

A1

# DEMANDE DE BREVET D'INVENTION

Ø N° 81 12337

- - (41) Date de la mise à la disposition du public de la demande.......... B.O.P.I. « Listes » n° 4 du 29-1-1982.
  - 71 Déposant : Société dite : WESTINGHOUSE ELECTRIC CORPORATION, résidant aux EUA.
  - 2 Invention de : Philip Leland Hower et Richard Joseph Fiedor.
  - 73 Titulaire : Idem (71)
  - (74) Mandataire : Bureau D. A. Casalonga, Office Josse et Petit, 8, av. Percier, 75008 Paris.

10

15

20

25

30

35

Procédé pour fabriquer des transistors de puissance à paramètres modifiés par irradiation d'électrons.

La présente invention concerne les transistors irradiés par des électrons et elle a trait, plus particulièrement, à des transistors de puissance.

Parmi les paramètres de performance importants compris dans les cahiers des charges pour les transistors de forte puissance à semi-conducteurs, on trouve le temps  $\mathbf{t_s}$  de stockage de charges et le gain  $\mathbf{h_{fe}}$ . Le paramètre  $\mathbf{t_s}$  relatif au temps de stockage est une fonction de la durée de vie  $\boldsymbol{\tau}$  des porteurs de courant dans la matière semi-conductrice qui comprend le collecteur métallurgique du transistor. La durée de vie  $\boldsymbol{\tau}$ 

est la caractéristique d'une région semiconductrice désignée couramment comme étant le temps moyen durant lequel un porteur de courant excédentaire existe dans une région avant de cesser d'être un porteur de courant excédentaire (de façon caractéristique par recombinaison).

Dans les procédés de traitement actuel, il est difficile de régler la durée de vie dans les collecteurs des transistors de puissance. De façon caractéristique,  $\tau$  varie de plus d'un facteur de 2, par exemple de 20 us à 40 us, même dans un groupe de plaquettes semi-conductrices ayant subi les mêmes phases de traitement. Cette variation de  $\tau$  traduit une variation du temps de stockage  $t_s$ . La variation de  $t_s$  est néfaste dans de nombreuse applications où des règlages de circuit peuvent être nécessaires pour compenser les variations de  $t_s$  d'un dispositif à l'autre. De plus, de nombreuses applications exigent des limites en ce qui concerne le temps de stockage maximal  $t_s$  conjointement avec des limites en ce qui concerne le gain minimal  $h_{fe}$ .

La présente invention a pour objet de modifier les paramètres de transistors par irradiation.

La présente invention réside, d'une façon générale, dans un procédé de fabrication de transistors dont les paramètres électriques ont été modifiés par rapport à ceux des transistors initiaux, ce procédé consistant :

à déterminer un dosage de radiation d'électrons au cours d'un premier lot d'essais des transistors pour satisfaire à des

caractéristiques données de gain et de temps de stockage en mesurant au moins une des caractéristiques des transistors du premier lot;

à positionner une surface d'au moins un des dispositifs semi-conducteurs d'un second lot de transistors initiaux en vue d'une exposition à la radiation; et

5

10

15

à irradier le dispositif semi-conducteur précité ou chaque dispositif semi-conducteur dudit second lot avec des électrons portés au niveau d'énergie de radiation tel que fixé au cours de la phase de détermination.

Selon les enseignements de la présente invention, on peut améliorer la relation qui existe dans un transistor à semi-conducteurs entre le gain  $h_{fe}$  et le temps de stockage  $t_s$  de manière à situer cette relation dans des limites de spécifications prédéterminées (maxima et minima). Si le transistor peut être caractérisé grâce à une durée de vie  $\tau$ , une variation de cette durée de vie  $\tau$  entraîne une variation du gain  $h_{fe}$  ainsi que du temps de stockage  $t_s$  suivant une fonction prédéterminée de cette durée de vie  $\tau$ . En particulier, on peut obtenir une réduction du temps de stockage  $t_s$  (et du gain  $h_{fe}$ ) en irradiant le transistor avec une densité de radiation prédéterminée, ce niveau de densité de radiation étant proportionnel au produit de l'intensité du flux par le temps total d'exposition.

Plus particulièrement, le transistor peut être caractérisé par un gain  $h_{fe}^{O}$  et un temps de stockage  $t_{s}^{O}$  et si une application de conception particulière exige un gain minimal  $h_{fe}^{min}$  et un temps de stockage maximal  $t_{s}^{max}$  ( $h_{fe}^{O} > h_{fe}^{min}$  et  $t_{s}^{O} > t_{s}^{max}$ ), alors 25 l'irradiation du transistor avec un niveau prédéterminé de densité d'électrons déterminée et spécifiée par les enseignements du procédé de la présente invention, on peut réduire le temps 30 de stockage du transistor jusqu'à une valeur inférieure ou égale à t<sup>max</sup> tout en maintenant une valeur de gain supérieure ou égale à  $h_{\text{fe}}^{\begin{subarray}{c} \end{subarray}}$  . De plus, en irradiant le transistor avec un niveau prédéterminé de densité d'électrons tel que déterminé et spécifié 35 par les enseignements de la présente invention, on peut réduire à un minimum les temps de charges de stockage du transistor tout en maintenant les contraintes relatives au gain spécifié minimal hfe Toutefois, en général, le procédé de la présente invention

10

15

20

25

30

35

concerne n'importe quel procédé au moyen duquel on désire diminuer le gain ou diminuer le temps de stockage d'une quantité déterminée.

En outre, ce procédé peut être utilisé pour diminuer la plage des valeurs de temps de stockage dans un groupe ou une série de transistors fabriqués. Une série particulière de transistors peut être caractérisée par une plage  $\Delta t_S^O$  de valeur de temps de stockage comprise entre une valeur inférieure  $t_S^O$  et une valeur supérieure  $t_S^A$ . Si une application de conception particulière exige une plage maximale  $\Delta t_S^{max}$  de valeurs de temps de stockage parmi une série de transistors, on peut alors, en irradiant les transistors avec un niveau de densité d'électrons déterminé et spécifié par les enseignements du procédé de la présente invention, réduire la plage des valeur du temps de stockage jusqu'à ce qu'elle soit inférieure ou égale à  $\Delta t_S^{max}$  tout en maintenant une valeur de gain de transistor supérieure ou égale à  $\Delta t_S^{max}$  tout en maintenant une valeur de gain de transistor supérieure ou égale à  $\Delta t_S^{min}$ 

On va maintenant décrire la présente invention en se référant aux dessins annexés, sur lesquels :

la figure l est un graphique montrant la relation entre la durée de vie et la densité des électrons;

la figure 2 est une vue isométrique d'un transistor, auquel est appliqué le procédé de la présente invention;

la figure 3 est un graphique de la concentration en impuretés en fonction de la distance par rapport à la jonction p-n base-collecteur dans le collecteur du transistor de la figur 2;

la figure 4 est une vue en coupe du transistor de la figure 2;

la figure 5 est un circuit servant à déterminer le temps de stockage du transistor des figures 2 et 4;

la figure 6 est un diagramme de temps pour le fonctionnement du circuit de la figure 5;

la figure 7 est un graphique montrant la relation entre la durée de vie et le gain encourant;

la figure 8 est un graphique montrant la relation entre la durée de vie et le temps de stockage; et

la figure 9 montre un appareil particulier destiné à

être utilisé avec le procédé de la présente invention.

la figure 1 est un graphique log-log montrant la relation entre la durée de vie effective  $\mathcal{T}_{\rm e}$  des porteurs de courant dans un transistor bipolaire et la densité ou dosage  $\phi_{\rm e}$  des électrons auquel est exposé le transistor pour diverses durées de vie initiale  $\mathcal{T}_{\rm O}$ . Cette relation est bien connue et est représentée et expliquée dans un article rédigé par P. Rai-Choudbury et al, "Electron-Minority Carrier Lifetime Control" dans "IEEE Transactions in Electron Devices", Volume ED-23, No 8, Août 1976.

Cette relation peut être écrite comme suit:

$$\frac{1}{\tau_{\rm e}} = \frac{1}{\tau_0} + K' \phi_{\rm e} \tag{1}$$

15 où :

5

10

% est la durée de vie en secondes (s) après irradiation;
% est la durée de vie en secondes (s) avant l'irradiation;
K' est le coefficient en cm² (e-S) d'endommagement par
les radiations;

20

ø<sub>e</sub> est la densité des électrons en e/cm<sup>2</sup>.

Plus directement:

$$\tau_{\rm e} = \frac{\tau_0}{1 + \kappa' \phi_{\rm e}} \tag{2}$$

25

où  $\phi_{\rm e}$  peut être exprimé comme une fonction du produit du temps t (en secondes) durant lequel le transistor est exposé à la radiation par la densité de flux  $\psi_{\rm e}$  de cette radiation, de sorte que :

30

$$\phi_{e} = f(\psi_{e} \cdot t) \tag{3}$$

La figure l comprend plusieurs courbes de 11 à 19 montrant, pour divers dosages ou densités de flux  $\phi_e$ , la variation  $\gamma_e$  dans le cas d'un transistor ayant une durée de vie initiale  $\gamma_e$  des porteurs de courant. Par exemple, la courbe 11 de la figure l montre la variation de  $\gamma_e$  dans le cas d'un transistor présentant une durée de vie initiale  $\gamma_e^{11}$  de 10 µs. Après avoir

été exposée à une densité de flux ø de 10<sup>13</sup> électrons/cm², la durée de vie 7<sup>11</sup> des porteurs d'électrons est de 5,50 µs comme représenté par la courbe 11. Comme autre exemple, la courbe 19 de la figure 1 montre les variations de 7 pour un transistor présentant une durée de vie initiale 7<sup>19</sup> de 100 µs. Après exposition à une densité de flux ø de 10<sup>13</sup> électrons/cm², la durée de vie 7<sup>19</sup> des porteurs de courant est de 10,70 µs comme représenté par la courbe 19. Les diverses autres courbes 12 à 18 représentées sur la figure 1 montrent en outre 1'effet de 10 l'exposition, à une gamme de densités d'électrons, d'un transistor bipolaire présentant des durées de vie initiale différentes. On peut wir d'après les courbes 11 à 19 de la figure 1 que plus la durée de vie initiale 70 est faible pour un transistor donné, plus est faible la réduction (7 - 7 de) de 15 la durée de vie des porteurs de courant.

Le glossaire des variables et des constantes ainsi que l'index des relations et des équations que l'on a donnés ci-après seront utilisés pour faciliter la compréhension des relations et des équations expliquant le procédé de la présente invention.

## Glossaire des variables et des constantes

A<sub>R</sub> = surface de base métallurgique (en cm<sup>2</sup>)

20

30

 $A_{E}^{2}$  = surface d'émetteur métallurgique (en cm<sup>2</sup>)

D<sub>B</sub> = coefficient effectif de diffusion des électrons dans la base métallurgique (sans dimension)

D<sub>C</sub> = coefficient de diffusion des porteurs majoritaires aux hauts niveaux dans le collecteur (en cm<sup>2</sup>/seconde)

D<sub>CO</sub> = coefficient de diffusion des porteurs majoritaires aux bas niveaux dans le collecteur (en cm<sup>2</sup>/seconde)

D = coefficient de diffusion des électrons, d'une façon générale, dans une couche semi-conductrice

 $D_{n} = D_{B}$  dans la couche 114 de base

 $D_{n}^{-} = D_{CO}^{-}$  dans la couche 120 de collecteur aux bas niveaux

 $D_n = D_C$  dans la couche 120 de collecteur aux hauts niveaux

35  $h_B = paramètre de recombinaison pour la base (en cm<sup>4</sup>/sec)$ 

h<sub>C</sub> = paramètre de recombinaison pour le collecteur (en cm<sup>4</sup>/sec)

h<sub>E</sub> = paramètre de recombinaison pour l'émetteur (en cm<sup>4</sup>/sec)

```
h<sub>FEO</sub> = gain en courant de crête (montage en émetteur commun)
              (sans dimension )
      h_{fe} \gamma = gain limité utile ou de rendement d'émetteur
            = courant de base (en ampères (A))
           = courant de base direct (en ampères (A))
 5
           = courant de base inverse (en ampères (A))
           = courant de collecteur (en ampères (A))
           = la constante de Boltzmann = 8,62 \times 10^{-5} eV/°K
           = coefficient d'endommagement de a radiation en cm<sup>2</sup> (e-s)
           = densité des accepteurs dans la base ( en cm<sup>-3</sup>)
10
           = densité des donneurs dans le collecteur n (en cm-3)
     N_{\widetilde{W}}(0) = concentration des porteurs en excédant à la jonction
             n-n^+ 124 à t=0 (en cm^{-3}) dans une saturation classique
           = charge des électrons en coulombs = 1,6 x 10<sup>-19</sup> coulombs
          = température absolue en degrés Kelvin dans la région
15
             active du transistor
          = temps de stockage de charges
                                                     (en secondes)
          = tension continue collecteur-émetteur (en volts)
          = largeur de la base active (en cm^2)
          = largeur de la région n de collecteur (en cm)
20
          = largeur de la base induite par le courrant (en cm)
          = mobilité aux bas niveaux pour les porteurs majoritaires
            dans le silicium (en cm²/V-s)
   >N = durée de vie dans la legion = 

= durée de vie après irradiation (en secondes (s))
          = durée de vie dans la région de collecteur n 122
          = durée de vie avant irradiation (en secondes (s))
         = densité des électrons (en e/cm<sup>2</sup>)
               Index des relations et des équations
```

30 B = 
$$\frac{W_C}{(h_B + h_C) \gamma_N} + \frac{I_C h_E W_C}{(h_B + h_C) q A_B p_C}$$

$$c = \frac{I_{C}}{qA_{B}(h_{B}+h_{C})} \left( \frac{1}{h_{FEO}} + \frac{W_{C}^{2}}{4D_{C}\gamma_{N}} - \frac{I_{BF}}{I_{C}} \right) + \frac{I_{C}^{2}h_{E}}{(h_{B}+h_{C})} \frac{(W_{C}/D_{C})^{2}}{4q^{2}A_{E}A_{B}}$$

$$D_{C}^{*} = D_{C}^{2}/D_{CO}$$

$$D_{CO} = kT \mu_{CO}/q$$

$$I_0 = \frac{\mathrm{q}\mu_{\mathrm{C}0} \mathrm{V}_{\mathrm{CE}} \mathrm{N}_{\mathrm{C}} \mathrm{A}_{\mathrm{E}}}{\mathrm{W}_{\mathrm{C}}}$$

$$N_W(0) = \frac{-B}{2} + \sqrt{\frac{B^2}{4} - C}$$

$$Q_O \triangleq \frac{V_{CE}N_CW_C}{(4kT/q)}$$

$$Q_{B} = \int_{0}^{W_{BO}} N_{A} dx$$

$$\frac{Q_B}{D_B} = \int_{Q}^{W_B} \frac{N_A}{D_n} dx$$

$$W_{CIB} = W_{C}(1-I_{O}/I_{C})$$

La figure 2 est une vue isométrique d'un transistor 100 sans métallisation, ce transistor 100 étant utilisé dans le procédé de la présente invention. On peut se référer à ce transistor 100 pour expliquer les variables du glossaire cidessus.

Le transistor 100 au silicium comporte une surface supérieure 100 et une surface inférieure 102 entre lesquelles se trouve une couche 110 d'émetteur du type n formant une jonction p-n 112 avec une couche 114 de base du type p. Le collecteur 120 comprend une couche 122 du type n et une couche 126 contiguë à cette dernière, ces deux couches formant ensemble

une limite  $n-n^+$  124. La couche 122 de type  $\underline{n}$  forme une jonction p-n 128 avec la couche 114 de base de type p.

La superficie A<sub>B</sub> de base est la superficie couverte par la jonction p-n 128 et est représentée par une première zone hâchurée sur la figure 2. La superficie A<sub>E</sub> d'émetteur est la superficie couverteessentiellement par la surface inférieure de l'émetteur n<sup>+</sup> 110, c'est-à-dire essentiellement la superficie couverte par le courant traversant la jonction p-n 112. La superficie A<sub>B</sub> est, de façon caractéristique, à peu près égale à deux fois la valeur de la superficie A<sub>E</sub>. La largeur W<sub>CIB</sub> est la distance qui, dans la couche n 122 sépare la jontion p-n 128 d'une ligne 130 où la concentration en porteurs excédentaires dans la couche n 122 est nulle. La largeur W<sub>CO</sub> est la distance qui, dans la base p 114, sépare la jonction p-n 128 d'une ligne 132 tangente à la partie inférieure de la jonction p-n 112. La largeur W<sub>C</sub> est la largeur de la région 122 de collecteur de type n.

Les mesures des propriétés physiques du transistor 100 comprennent les coefficients de diffusion  $D_B$ ,  $D_C^*$ , et  $D_{CO}$ , les paramètres de recombinaison  $D_B$ ,  $D_C^*$ , et  $D_C^*$ , les concentrations en impuretés  $D_C^*$ , et la mobilité  $D_C^*$  aux bas niveaux. La mobilité  $D_C^*$  co aux bas niveaux est une propriété physique de certains matériaux semi-conducteurs mesurés en cm²/v-sec. La mobilité  $D_C^*$  aux bas niveaux pour les porteurs majoritaires dans le siliciumest 1300 cm²/v-sec. pour un transistor npn. Les coefficients de diffusion  $D_C^*$  et  $D_C^*$  sont fonction de  $D_C^*$  comme indiqué dans l'index ci-dessus. Les paramètres de recombinaison  $D_C^*$  et  $D_C^*$  comme indiqué dans l'index ci-dessus. Les paramètres de recombinaison har et les représentent chacun les mesures des effets de recombinaison des porteurs minoritaires dans les régions fortement dopées pour les régions respectives du transistor 100. Chacun des paramètres de recombinaison peut être exprimé par

$$h = \frac{D_{eff}}{N_{eff} L_{eff}}$$

35 où :

L<sub>eff</sub> = longueur de diffusion effective pour les porteurs
 minoritaires; et

 $N_{eff}$  = concentration effective des porteurs majoritaires

La figure 3 est un graphique dans lequel l'axe des ordonnées 50 représente la concentration en impuretés et l'axe des 5 abscisses 60 représente la distance par rapport à la jonction base-collecteur p-n 128 dans le collecteur du transistor 100 de la figure 2. Le graphique de la figure 3 comprend des courbes 51 et 52 montrant, respectivement, la concentration en impuretés  $\underline{\mathbf{n}}$  (Electrons) et  $\underline{\mathbf{p}}$  (trous) dans la couche de collecteur  $\underline{\mathbf{n}}$  122 10 pour l'état de polarisation directe pendant une saturation classique comme une fonction de la distance par rapport à la jontion p-n 128. Une saturation classique dépeint un état dans lequel la jonction p-n 128 est polarisée partout en sens direct. La pente des courbes 51 et 52 est déterminée par la densité de 15 courant dans le collecteur 120. Le graphique de la figure 3 comprend également des courbes 53 et 54 montrant respectivement la concentration en impureté  $\underline{\mathbf{n}}$  et  $\mathbf{p}$  dans la couche 122 de collecteur  $\underline{n}$  pour l'état de polarisation en sens direct pendant 20 une quasi-saturation comme une fonction de la distance par rapport à la jonction p-n 128. Une quasi-saturation dépeint un état dans lequel la jonction p-n 128 est polarisée en sens direct uniquement sous l'émetteur 110 mais est polarisée en sens inverse partout ailleurs.La ligne 55 en traits interrompus désigne l'interface n-n+ 124. La courbe 53 s'incline négati-25 vement sur une certaine distance dans le collecteur n 122,ce qui traduit une diminution de la concentration en impuretés n (électrons). Après une distance égale à la largeur  $\mathbf{W}_{\text{CIB}}$ , la pente de la courbe 53 devient nulle, ce qui traduit une concentration constante en impuretés  $\underline{n}$  (électrons) équivalente à la propriété 30  ${\bf N_{C}}$ . La différence entre la concentration  ${\bf N_{C}}$  et la concentration en impuretés  $\underline{n}$  (électrons) à l'interface  $\underline{n-n}^+$  124 exprime la concentration  $N_{(W)}$  (0) en porteurs excédentaires à la jonction  $n-n^+$ 124.

La figure 4 est une vue en coupe par IV-IV du transistor 100 de la figure 2. La figure 4 montre une métallisation que l'on a effectuée sur le transistor 100 pour obtenir un dispositif complet et en état de marche. Une électrode de base 140 en métal

10

et d'une épaisseur de 8 um est disposée sur la surface découverte de la couche 114 de base et peut être constituée par n'importe quel métal conducteur, mais l'aluminium est préférable. Une électrode d'émetteur 144 en métal et d'une épaisseur de 8 um est disposée sur la surface découverte de la couche d'émetteur 110 et peut avoir la même composition que l'électrode 140. Une pièce 146 en molybdène et d'une épaisseur de 0,15 mm est disposée sur l'électrode d'émetteur 144 et une pièce 148 en molybdène et d'une épaisseur de 0,76 mm est disposée sur la surface découverte de la couche n<sup>+</sup> 126 pour former une électrode de collecteur.

La figure 5 montre un circuit servant à déterminer le temps  $\mathbf{t}_{_{\mathbf{S}}}$  de stockage de charges du transistor 100. Sur la figure 5, les mêmes références désignent les parties correspondantes des figures précédentes. Une résistance  $\mathbf{R}_{\mathbf{L}}$  est montée entre une source d'alimentation  $V_{CC}$  et l'électrode de collecteur 148. L'électrode d'émetteur 146 est reliée à la masse et l'émetteur de base 140 est relié à une source de courant  $i_{\overline{B}}(t)$ . La source de courant  $i_B(t)$  comprend, d'une part, des sources d'énergie électrique  $v_1^-$  et  $v_2^-$  comportant chacune une borne 20 positive et une borne négative et, d'autre part, des résistances  $R_1$  et  $R_2$ . La source de courant  $i_B(t)$  comprend aussi un commutateur  $S_1$  unipolaire à deux directions comportant un pole  $P_1$ et des plots $\pi_1$  et  $\pi_2$ . La borne négative de la source d'énergie électrique  $\overline{V}_l$  est reliée à la masse et la borne positive de cette source est reliée à l'une des extrémités de la résistance  $R_1$ . L'autre extrémité de la résistance  $R_1$  est reliée au plot $\mathcal{T}_1$  du commutateur. La borne positive de la source d'énergi $\epsilon$  V $_2$  est reliée à la masse et la borne négative de cette source est reliée à une des extrémités de la résistance R2. 30 L'autre extrémité de la résistance  $R_2$  est reliée au plot  $\widetilde{n_2}$  de l'interrupteur. Le temps de stockage de charges est la période de temps nécessaire pour que le courant  $I_{\mbox{\scriptsize C}}$  de collecteur diminue jusqu'à une valeur égale à 0,9 I après qu'un courant de polarisation inverse  $I_{\overline{BR}}$  a été appliqué au transistor 100. La figure 35 6 montre un diagramme de temps servant à déterminer le temps de stockage t dans le cas du transistor 100. Les courbes 150 et 152 montrent les valeurs instantanées  $i_{C}(t)$  et  $i_{B}(t)$  du courant de collecteur et du courant de base, respectivement. A un moment

 $t_{\rm O}$ , un courant de base  $I_{\rm BF}$  de polarisation en sens direct est appliqué à l'électrode de base 140 du transistor 100 comme représenté par la courbe 152 de la figure 6 au moment  $t_{\rm O}$ , ceci se traduisant par un courant  $I_{\rm C}$  dans l'électrode de collecteur 148. Au moment  $t_{\rm I}$ , le courant de base  $I_{\rm BR}$  de polarisation en sens inverse est substitué au courant de base  $I_{\rm BF}$  comme le montre la courbe 152 sur la figure 6 au moment  $t_{\rm I}$ . Le courant de collecteur  $I_{\rm C}$  diminue jusqu'à une valeur égale à 0,9  $I_{\rm C}$  à un moment  $t_{\rm I}$ . La période de temps qui s'écoule entre le moment  $t_{\rm I}$  et le moment  $t_{\rm I}$  est le temps, de stockage  $t_{\rm I}$ .

On a déterminé qu'une relation existe entre le gain en courant  $h_{fe}$  et la durée de vie  $7_N$  des porteurs dans le collecteur. La relation est i**llust**rée par la courbe 30 de la figure 7. L'équation à partir de laquelle est calculée ou tracée la courbe 30 est :

$$h_{fe} = f(\gamma_N) = h_{fe} \gamma / (1+\delta)$$
 où

$$h_{fe} \gamma = \frac{h_{fe0}}{1 + \frac{Q_0 D_B}{Q_B D_C^*} \left(\frac{I_C^2 + I_0^2}{I_0 I_C} - 2\right)}$$
(5)

et

10

15

30

$$\delta^{\Delta} h_{fe} \gamma (W_{CIB}^2 / (4D_C \gamma_N))$$
 (6)

où les variables, les constantes et les relations figurant dans les équations (4), (5) et (6) sont données en détail dans le glossaire ci-dessus des variables et constantes ainsi que dans l'index ci-dessus des relations et des équations. D'une façon plus directe, la relation entre le gain  $h_{fe}$ , la densité  $\phi_e$  d'électrons et  $\gamma_0$  peut être exprimée comme suit :

35 
$$h_{fe} = f(\phi_{e}) = \frac{h_{fe} \gamma}{1 + \frac{W^{2} CIB^{h} fe \gamma^{(1+ K'\phi_{e})}}{4D_{C} \gamma_{N}}}$$
 (7)

Pour la courbe 30 tracée sur la figure 7, les variables de l'équation (7) ont les valeurs suivantes :

$$I_{C} = 50 \text{ A}$$

$$V_{CE} = 2.5 \text{ V}$$

$$h_{E} = 2 \times 10^{-14} \text{ cm}^{-4}/\text{S}$$

$$A_{E} = 1 \text{ cm}^{2}$$

$$W_{C} = 50 \times 10^{-4} \text{ cm}$$

$$N_{C} = 1.4 \times 10^{14} \text{ cm}^{-3}$$

$$h_{fe0} = 25$$

On a également déterminé qu'il existe une relation

15 entre le temps de stockage t<sub>s</sub> dans un transistor et la durée
de vie effective \( \gamma\_B \) de transit dans la base du même transistor.

La figure 8 est un graphique contenant une courbe 40 qui
montre la relation entre t<sub>s</sub> et \( \gamma\_B \) dans un transistor. L'équation à partir de laquelle la courbe 40 est tracée est:

$$t_{s} = f(\gamma_{B}) = \gamma_{B} \ln \left[ 1 + \frac{N_{W}(0)W_{C}(A_{B}/A_{E})}{\frac{N_{W}(0)W_{C}}{2} + \frac{I_{BR}\gamma_{B}}{qA_{E}}} \right]$$
 (8)

25 et où

20

$$\gamma_{\rm B} = \frac{I_{\rm C}}{I_{\rm BF}} \left[ \frac{W_{\rm C}^2}{4D_{\rm C}} + \frac{qA_{\rm B}}{I_{\rm C}} N_{\rm W}(0)W_{\rm C} \right]$$
(9)

où les variables, les constantes et les relations figurant dans l'équation (8) sont indiquées en détail dans le glossère cidessus des variables et des constantes ainsi que dans l'index ci-dessus des relations et des équations.

Plus directement, l'équation (8) peut être exprimée comme une fonction de la densité  $\phi_{\rm e}$  d'électrons et de la durée de vie initiale  $\gamma_{\rm N}$  :

$$t_{s} = \frac{\gamma_{N}}{1 + \gamma_{N} K^{\dagger} \phi_{e}} \ln \frac{(1 + N_{W}(0) W_{C}(A_{B}/A_{E})) (1 + \gamma_{N} K^{\dagger} \phi_{e})}{\frac{I_{C} W_{C}^{2}}{4qD_{C}A_{E}} (1 + \gamma_{N} K^{\dagger} \phi_{e}) + \frac{I_{BR}}{qA_{E}} \gamma_{N}}$$
(10)

Pour la courbe 40 tracée sur la figure 8 , les variables de l'équation (9) ont les valeurs suivantes :

10 
$$I_{C} = 50A$$

$$I_{BF} = I_{BR} = 4A$$

$$h_{E} = 2 \times 10^{-14} \text{ cm}^{-4}/\text{S}$$

$$h_{B} + h_{C} = 2h_{E}$$

$$A_{E} = 1 \text{ cm}^{2}$$

$$W_{C} = 50 \times 10^{-4} \text{ cm}$$

$$N_{C} = 1, 4 \times 10^{14} \text{ cm}^{-3}$$

En se basant sur l'équation (1) et les courbes 11 à 19

de la figure 1, on peut utiliser un dosage déterminé ø<sub>e</sub> de radiation pour diminuer la durée de vie T<sub>N</sub> et ont peut utiliser ensuite la durée de vie T<sub>N</sub> pour calculer la relation entre le dosage de radiation ø<sub>e</sub> et le gain h<sub>fe</sub> à l'aide de l'équation (7) et de la figure 7 ainsi que la relation entre le dosage

25 ø<sub>e</sub> de radiation et le temps de stockage t<sub>s</sub> à l'aide de l'équati (9) et de la figure 8.

L'exemple ci-après doit servir à illustrer et à clarifie le procédé de la présente invention :

#### EXEMPLE

30 Une application de conception particulière exige, c'està-dire spécifie :

 $h_{fe}^{D} \geq 10$  (gain minimal)

 $t_S^D$   $\leq$  2 us (temps de stockage maximal); et

un processus particulier de fabrication donne un groupe ou sér: de transistors présentant une durée de vie utile  $\mathcal{V}_0$  des porteus où :

$$\lambda_0 = 40 \, \text{us}$$
.

10

15

20

A partir des équations (7) et (9) et des courbes 30 et 40, on déduit :

h<sup>O</sup> = 11,9 (gain du groupe de transistors après le fe processus de fabrication);

t<sup>o</sup> = 3,3 µs (temps de stockage de charge des transistors après le processus de fabrication):

après le processus de fabrication);  $h^O$  dépasse le gain spécifié ou requis  $h^d_{fe}$  mais  $t^O$  est supérieur au temps de stockage spécifié  $t^O_s$  mais ne satisfait pas aux exigences de conception. En supposant que l'on désire que la série de transistors présente des caractéristiques de fonctionnement telles que le gain  $h^O_{fe}$  après irradiation soit aussi grand que possible bien que le temps de stockage  $t^O_s$  soit réduit après irradiation au point de satisfaire les exigences de conception ( $t^O_s \in \mathcal{L}^d_s$ ), on peut déterminer ou calculer le dosage approprié  $\phi_e$  en utilisant les courbes 16 et 40 et l'équation (1) et l'équation (8) ou (9), respectivement, à l'aide desquelles les courbes 16 et 40 sont obtenues. Pour un temps de stockage  $t^O_s$  de 2 as après irradiation, il faut obtenir après irradiation une durée de vie  $\mathcal{T}_e$  telle que :

$$\mathcal{T}_{e} = 11 \mu s$$
,

cette relation étant obtenue à l'aide de la courbe 40 de la figure 8. Sur la figure 1, la courbe 16 représente la relation entre la durée de vie  $\nearrow_{\rm e}$  après irradiation et le dosage  $\not_{\rm e}$  de radiation pour un transistor présentant une durée de vie initiale  $\nearrow_{\rm O}^{40}$  telle que :

$$T_{\rm O}^{40} = 40 \ \mu s.$$

En examinant la courbe 16 de la figure 1, on peut observer que le dosage approprié ø de radiation nécessaire pour entraîner une durée de vie e de 10 µs est d'environ 8 x 10 de lectrons/cm qui entraîne, à son tour, un temps de stockage t e après irradiation des 2 µs. En examinant la courbe 30 de la figure 7, on peut observer que pour une durée de vie e de 11 µs, le gain he pour un transistor de la série de cet exemple (1) se trouve réduit de 11,9 à 10,6, ce gain he le plus grand possible donné pour un temps de stockage

 $t_s^{\not p}$ e  $\le 2$  µs exigé par les spécifications de conception pour un gain initial  $h_{fe}^{O}$  de 11,9.

En continuant avec les spécifications de conception et les caractéristiques de fonctionnement des transistors de cet exemple (1) et en supposant que l'on désire que cette série de transistors de cet exemple (1) présentent des caractéristique de fonctionnement telles que le temps de stockage  $t_s^{\phi}$ e après irradiation soit aussi faible que possible tout en maintenant le gain  $h_{f\xi}^{\phi}$  après irradiation à une valeur supérieure ou égale au gain spécifié de  $h_{fe}^{d}$  de conception, on peut déterminer le dosage approprié  $\phi_e$  de radiation en utilisant les courbes 16 et 40 et les équations (1) et (7), respectivement, à partir desquelles sont obtenues les courbes 16 et 30. Pour un gain  $h_{fe}^{\phi}$  de 10 après irradiation, il faut après irradiation une durée de vie  $\gamma_e$  telle que :

 $\gamma_e = 8 \, \mu s$ ,

30

35

cette relation étant obtenue à l'aide de la courbe 30 de la figure 7. En examinant la courbe 16, on peut observer que le dosage approprié  $\phi_{\rm e}$  de radiation nécessaire pour entraîner une durée de vie  $\Upsilon_{\rm e}$  de 8 µs est d'environ 1,015 x  $10^{13}$  e/cm² qui, à son tour, entraîne un gain hée de 10 après irradiation. En examinant la courbe 40 de la figure 8, on peut observer que pour une durée de vie  $\Upsilon_{\rm e}$  de 8 µs, le temps de stockage pour un transistor de la série de cet exemple (1) se trouve réduit de 3,3 µs à un temps de stockage possible minimal té pour un transistor de la série de cet exemple (1) avec un gain donné  $\Lambda_{\rm fe}$  lo et avec les conditions initiales données  $\Lambda_{\rm fe}$  = 11,9 et  $\Lambda_{\rm fe}$  = 3,3 µs.

La figure 9 montre un procédé préféré d'irradiation du transistor 100 des figures 2,4 et 5. L'appareil de la figure 9 comprend un moyen 60 d'irradiation destiné à fournir une radiation 62 d'électrons, les électrons de ladite radiation se trouvant à un niveau d'énergie d'environ 2 MeV, mais, de toute façon:, le niveau d'énergie de ladite radiation doit être suffisant pour modifier la durée de vie ou temps de recombinaison dans la couche 122 de collecteur. Une courroie transporteurse 64 sur laquelle est disposé le transistor 100

est placée sous le moyen d'irradiation 60. Le transistor 100 doit être orienté de manière telle que sa surface supérieure 101 soit tout d'abord exposée à la radiation 62. La courroie 64 doit être déplacée à une vitesse prédéterminée de manière telle que le temps total durant lequel le transistor 100 est exposé, soit suffisant pous donner l'exposition à une densité d'électrons prédéterminée.

Bien que l'on ait décrit la présente invention dans le cas de son mode de réalisation préféré, il va de soi que cette description n'est donnée qu'à titre purement illustratif et non limitatif et que des variantes ou modifications peuvent y être apportées dans le cadre de la présente invention.

L'homme de métier comprendra que le procédé de la présente invention peut être mis en œuvre de diverses façons et peut prendre des formes et des applications diverses autres que celles décrites précédemment. Par exemple, le procédé de la présente invention peut être mis en oeuvre dans le cas où une application de conception particulière exige un temps de stockage  $t_s^d$ , tel que :

$$t_s^d = t_{s0} \pm \Delta r_e^d$$

5

10

15

20

25

30

35

où  $t_{s0}$  = temps de stockage spécifié et  $t_e^d \le 1 \, \mu s$ 

et un procédé de fabrication particulier d'un groupe ou séries de transistors présentant une gamme de durée de vie  $\gamma_0$ , procédé dans lequel on détermine, par exemple, par analyse statistique que la variation des temps de stockage de transistor fabriqué dépasse la variation requise.

De plus, le procédé de la présente invention est appliqué à des transistors npn de sorte que, aux endroits de la description qui précède où l'on se réfère à des accepteurs et des donneurs, il faudrait substituer des donneurs et des accepteurs, respectivement, dans le cas où l'on utiliserait un transistor du type pnp. En outre, aux endroits de la description qui précède où l'on se réfère à des électrons et des trous, il faudrait substituer des trous et des électrons, respectivement, dans le cas où l'on utiliserait un transistor du type pnp.

Il est important de remarquer que bien qu'un moyen d'irradiation d'électrons soit utilisé pour expliquer le

procédé de la présente invention, ce moyen n'est donné qu'à titre purement illustratif et non limitatif. D'autres moyens classiques d'irradiation, (par exemple un moyen d'irradiation de protons) peuvent être envisagés et, en fait, le cadre de la présente invention comprend n'importe quel moyen permettant de modifier la durée de vie des porteurs dans le transistor à semi-conducteurs, par exemple un dopage par de l'or.

15

20

### REVENDICATIONS

l. Procédé pour fabriquer des transistors dont les paramètres électriques ont été modifiés par rapport à ceux des transistors initiaux, ce procédé étant caractérisé par le fait qu' il consiste :

à déterminer un dosage de radiation électronique dans un premier lot d'essai des transistors pour satisfaire des caractéristiques données de gain et de temps de stockage de charges par la mesure d'au moins une caractéristique des transistors du premier lot;

à positionner une surface d'au moins un des dispositifs semi-conducteurs d'un second lot de transistors initiaux en vue d'une exposition à la radiation; et

à irradier le dispositif semi-conducteur précité ou chaque dispositif semi-conducteur dudit second lot avec des électrons se trouvant au niveau d'énergie de radiation déterminé pendant la phase de détermination.

- 2. Procédé suivant la revendication l, caractérisé par le fait que la détermination du niveau d'énergie comprend la mesure du gain et du temps de stockage de charges des transistors irradiés dudit premier lot d'essai.
- 3. Procédé suivant les revendications 1 ou 2, caractérisé par le fait que l'on détermine la radiation en établissant le gain limité utile ou de rendement d'émetteur, la largeur de la base induite par le courant, la durée de vie avant irradiation, le coefficient d'endommagement de la radiation et le coefficient de diffusion des porteurs majoritaires aux hauts niveaux dans le collecteur, en divisant le gain limité utile ou de rendement d'émetteur par 1 plus une première quantité égale au quotient entre, d'une part, la largeur de base multipliée par le gain limité multiplié par une seconde quantité égale à 1 plus la durée de vie avant irradiation multipliée par le coefficient d'endommagement de la radiation multipliée par la densité de flux d'électrons, et d'autre part, quatre fois le coefficient de diffusion des porteurs majoritaires multipliée par la durée de vie avant irradiation.
  - 4. Procédé suivant l'une quelconque des revendications précédentes, caractérisé par le fait que le temps de stockage

de charges est déterminé par la durée de vie avant irradiation divisée par une troisième quantité égale à 1 plus la durée de vie multipliée par le coefficient d'endommagement de la radiation multiplié par la densité de flux d'électrons, ladite troisième quantité étant multipliée par le logarithme naturel 5 d'une quatrième quantité égale au quotient entre une cinquième et une sixième quantité, ladite cinquième quantité comprenant une septième quantité égale à 1 plus la concentration en porteurs excédentaires à la saturation multipliée par la largeur de la région de collecteurs multipliée par le quotient de la superficie de la base métallurgique divisée par la superficie d'émetteur métallurgique, cette septième quantité étant multipliée par l plus le produit de la durée de vie avant irradiation par le coefficient d'endommagement de la radiation et la densité de flux d'électrons, ladite sixième quantité comprenant 15 une huitième quantité égale au quotient d'un courant de collecteur donné multiplié par la largeur du collecteur porté au carré divisé par quatre fois la charge d'électrons multipliée par le coefficient de diffusion de porteurs majoritaires aux hauts niveaux dans le collecteur multiplié par la superficie 20 de l'émetteur métallurgique, le quotient venant d'être mentionné étant multiplié par l plus le produit de la durée de vie avant irradiation et par le coefficient d'endommagement de la radiation ainsi que par la densité de flux d'électrons, ladite sixième quantité comprenant, en outre, ladite huitième quantité 25 plus le produit du courant de base inverse par la durée de vie avant irradiation divisée par la charge d'électrons multipliée par la superficie d'émetteur métallurgique.

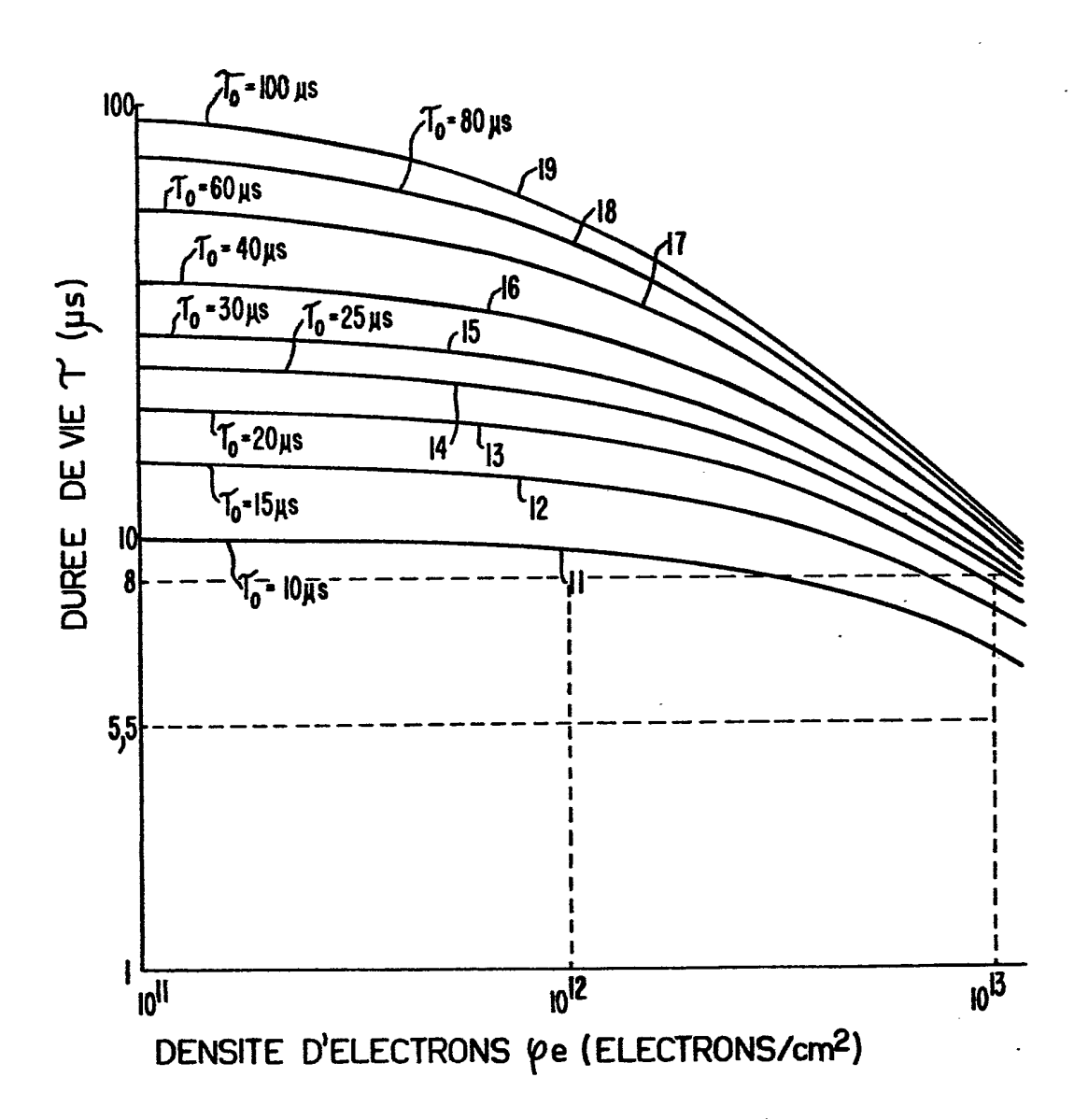
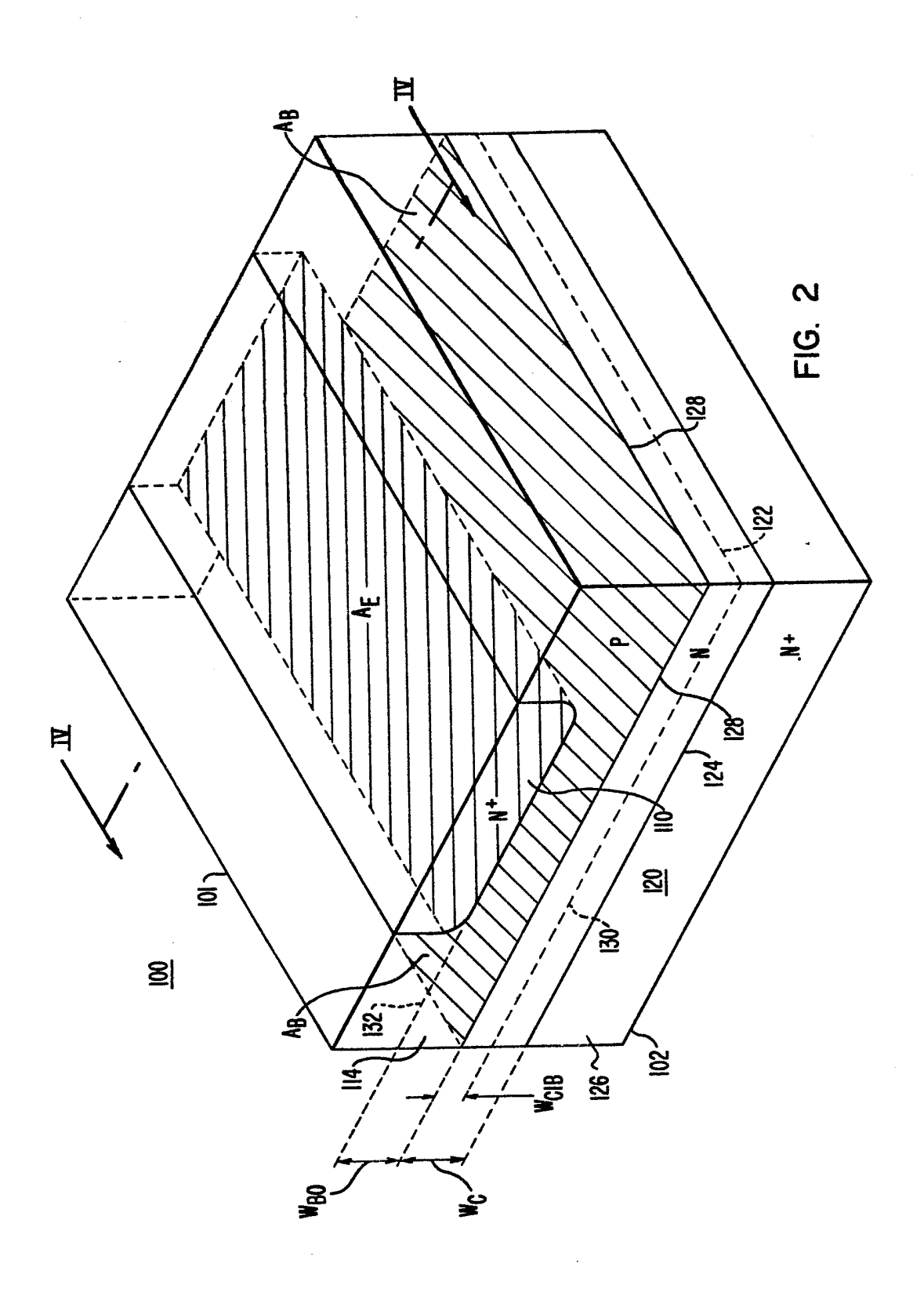
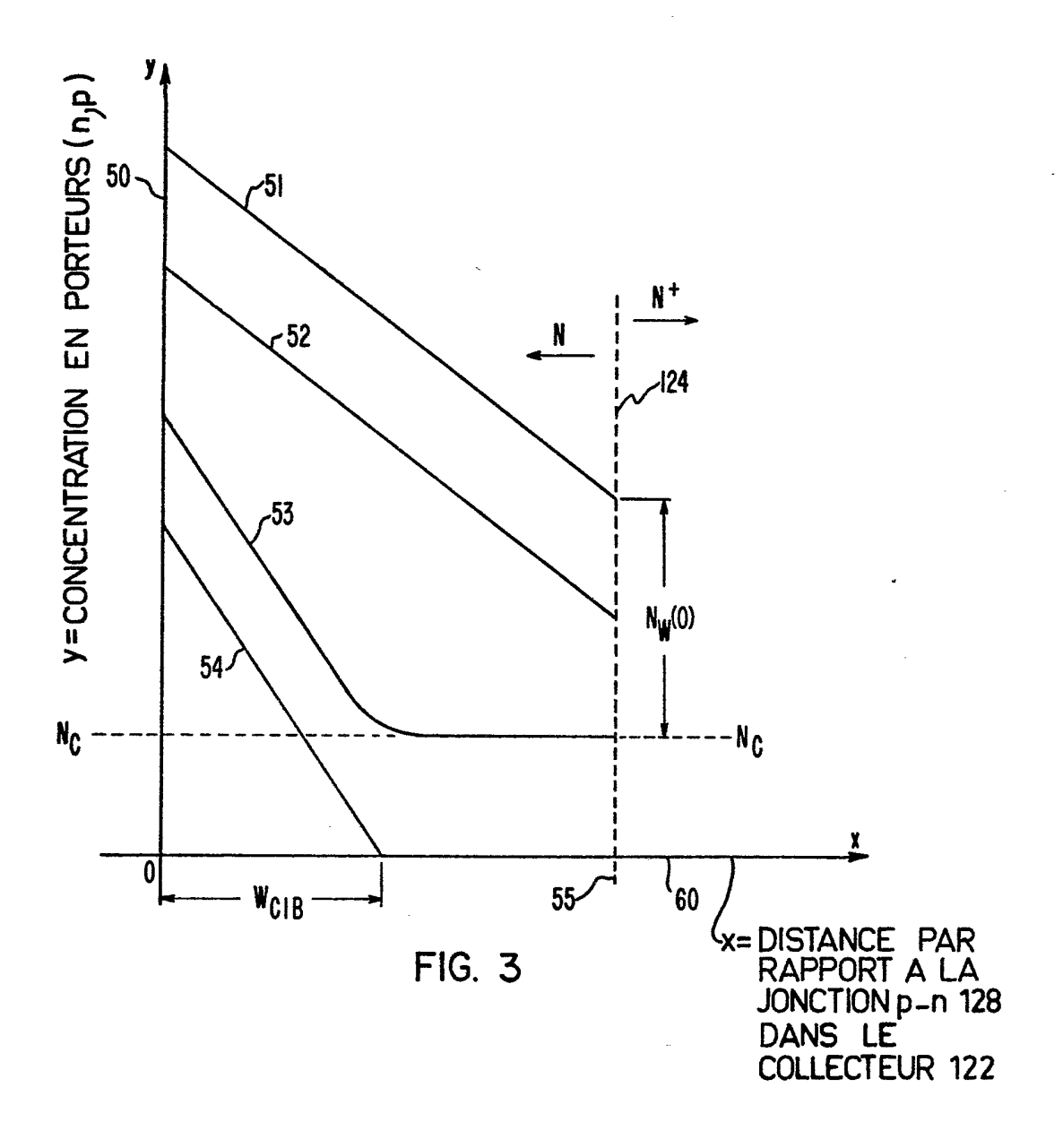
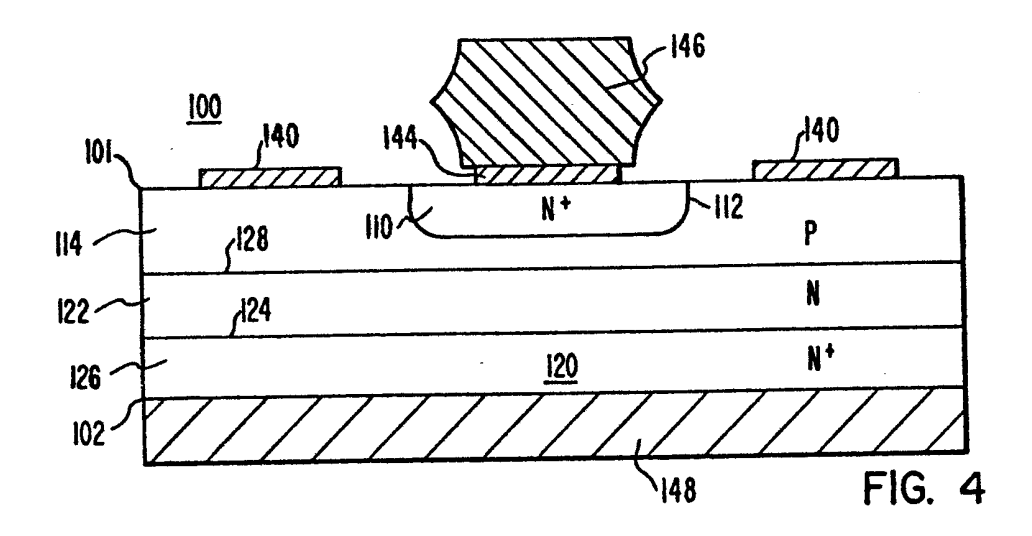
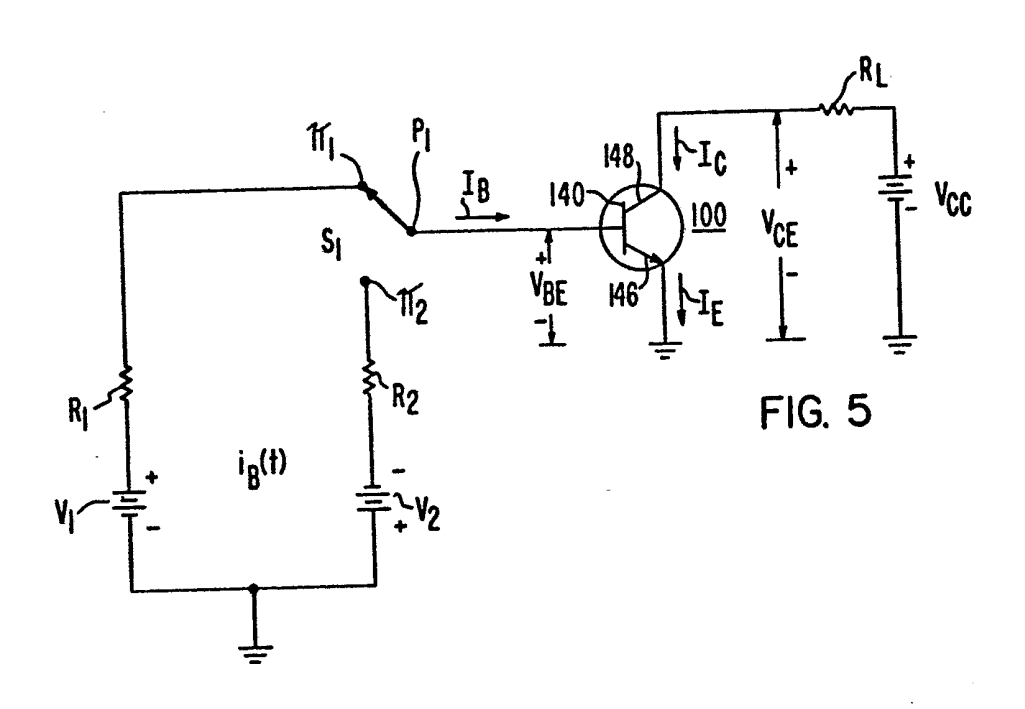


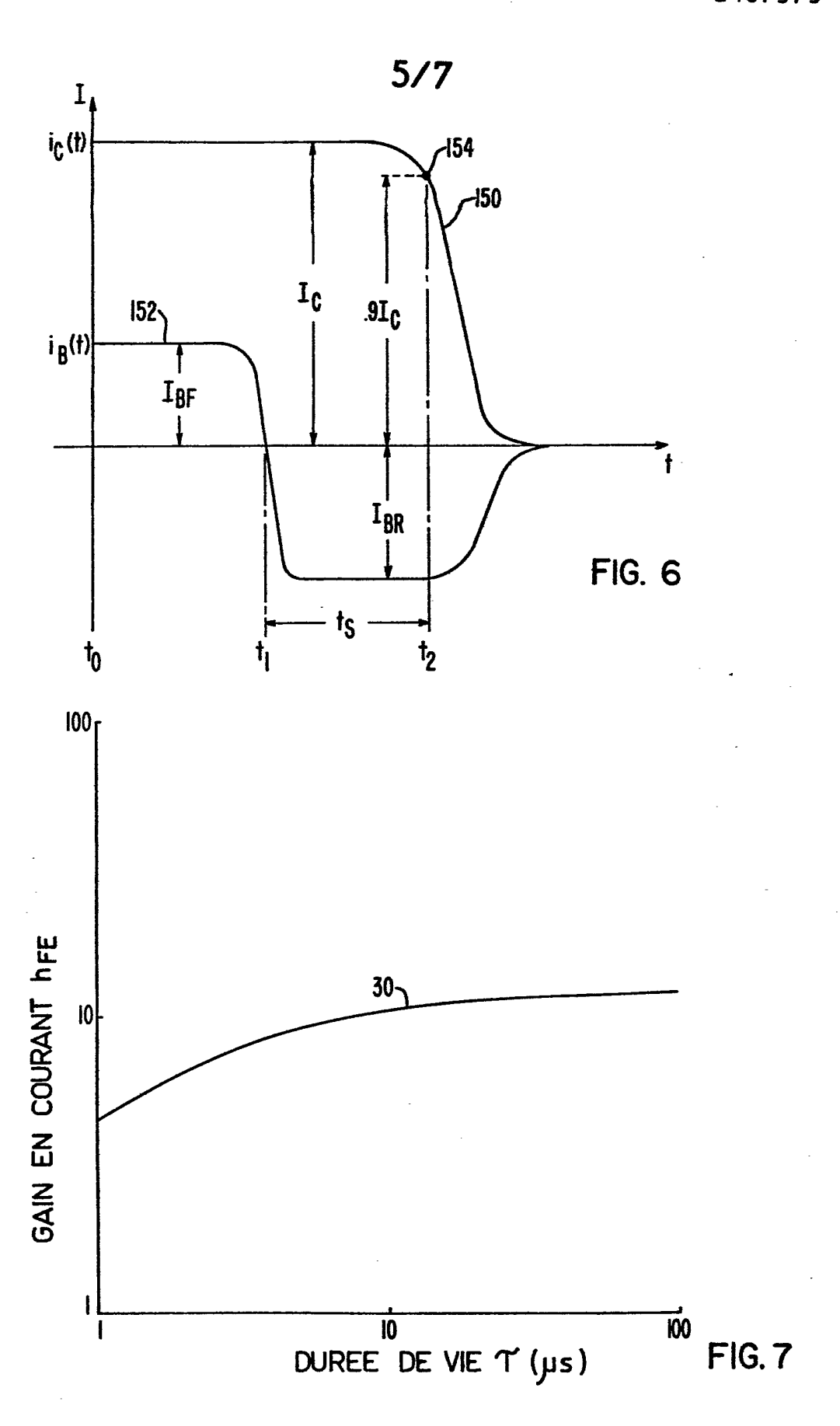
FIG. I











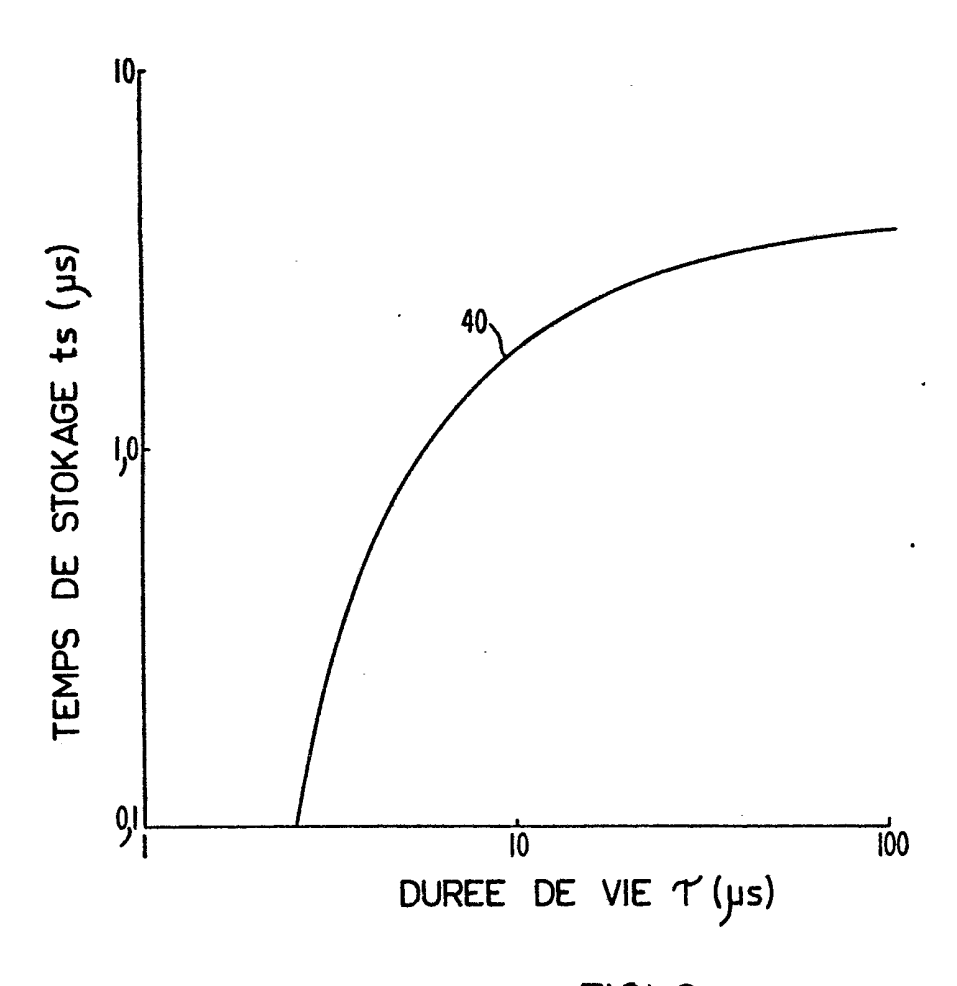


FIG. 8

